

# Modelo Linear Generalizado Exponencial Potência

Cristian Villegas<sup>1,2</sup>

## 1 Introdução

Os modelos lineares normais são amplamente aplicados em diversas áreas do conhecimento para modelar a média de dados contínuos que possuem uma distribuição simétrica. No entanto, quando temos presença de dados atípicos a distribuição exponencial potência surge como uma alternativa interessante à distribuição normal, já que possui caudas mais pesadas e mais curtas do que a distribuição normal e portanto ajusta melhor os dados atípicos. Com base em modelos lineares generalizados (MLG) [6] e modelos lineares simétricos (MLS) [5] estudamos o modelo linear generalizado exponencial potência (MLGEP). A ideia principal desses modelos é modelar dados contínuos com distribuição exponencial potência com alguma função de ligação entre a média e um conjuntos de preditores lineares. Em particular, comparamos o modelo linear normal e modelo linear exponencial potência para diferentes funções de ligação a um conjunto de dados reais. Apresentamos gráficos de resíduos padronizados [3] e alavanca generalizados [8].

## 2 Material e métodos

Modelos lineares simétricos tem assumido ligação identidade entre a média da variável resposta e um conjunto de preditores lineares. A classe de MLGS, introduz uma função de ligação entre a resposta média e o conjunto de preditores lineares, permitindo o uso de diferentes funções de ligação como por exemplo, ligação logarítmica, recíproca, dentre outras.

Assumimos que  $Y_1, \dots, Y_n$  são variáveis aleatórias independentes, em que cada  $Y_i$  tem uma distribuição exponencial potência com parâmetro de posição  $\mu_i$ , parâmetro de escala  $\phi$  e parâmetro de forma  $v$  cuja função de densidade ([2]) é definida como

$$f(y_i, \mu_i, \phi) = \frac{1}{\sqrt{\phi}} C(v) \exp \left\{ -\frac{1}{2} u_i^{1/(1+v)} \right\}, \quad -1 < v \leq 1, \quad u_i > 0, \quad (1)$$

em que  $u_i = (y_i - \mu_i)^2 / \phi$ ,  $C(v)^{-1} = \Gamma(\frac{3+v}{2}) 2^{(3+v)/2}$  e cuja notação será  $Y_i \sim EP(\mu_i, \phi, v)$ ,  $i = 1, \dots, n$ . Seja  $\eta_i = x_i^\top \beta = \beta_1 x_{i1} + \dots + \beta_p x_{ip}$  o preditor linear, em que  $x_i = (x_{i1}, \dots, x_{ip})^\top$  é o

---

<sup>1</sup>LCE - ESALQ/USP. e-mail: clobos@usp.br

<sup>2</sup>Agradecimento à FAPESP pelo apoio financeiro.

vetor  $p \times 1$  de covariáveis para o  $i$ -ésimo caso e  $\beta = (\beta_1, \dots, \beta_p)^\top$  é o vetor de parâmetros  $p \times 1$ . Assumimos que o parâmetro  $\mu_i$  satisfaz

$$g(\mu_i) = \eta_i, \quad (2)$$

com  $g(\cdot)$  sendo a função de ligação, monótona e pelo menos duas vezes diferenciável como em MLG. O modelo definido pelas equações (1)-(2) é chamado de MLGEP. O logaritmo da função de verossimilhança para o MLGEP pode ser escrito como

$$\ell(\theta) = -\frac{n}{2} \log(\phi) - n \log \left( \Gamma \left( \frac{3+v}{2} \right) \right) - \frac{n(3+v)}{2} \log(2) - \frac{1}{2} \sum_{i=1}^n u_i^{1/(1+v)},$$

em que  $\theta = (\beta^\top, \phi)^\top$  ( $v$  fixo). Usamos o método de máxima verossimilhança para estimar os parâmetros do modelo. Segue desde [8] que a matriz de alavanca generalizada é definida como,

$$GL(\theta) = D_\theta L_{\theta\theta}^{-1} L_{\theta y}, \quad (3)$$

avaliada em  $\hat{\theta}$ , com  $D_\theta = \partial \mu / \partial \theta^\top = (D(a)X, 0)$ , e  $L_{\theta y} = \partial^2 \ell(\theta) / \partial \theta \partial y^\top = (L_{\beta y}^\top, L_{\phi y}^\top)^\top$ , em que  $L_{\beta y} = X^\top D(c)D(a)/\phi$  e  $L_{\phi y} = \partial^2 \ell(\theta) / \partial \phi \partial y^\top = b^\top/\phi^2$ . Então, depois de algumas manipulações algébricas, (3) pode ser escrito como

$$GL(\hat{\theta}) = \hat{H}_1 + \hat{H}_2 \hat{H}_1 - \hat{H}_2, \quad (4)$$

em que  $H_1 = D(a)X\{X^\top D(d)X\}^{-1}X^\top D(a)D(c)$ ,  $H_2 = \frac{1}{\phi^3 l_{\phi\phi\cdot 1}} D(a)X\{X^\top D(d)X\}^{-1}X^\top D(a)bb^\top$ , e  $l_{\phi\phi\cdot 1} = l_{\phi\phi} - L_{\phi\beta} L_{\beta\beta}^{-1} L_{\beta\phi}$ . Note que para o modelo linear normal e ligação identidade  $GL(\hat{\theta}) = X(X^\top X)^{-1}X^\top$ . Agora se  $\phi$  for conhecido  $L_{\beta\phi} \approx 0$ , desde a equação (4) segue que

$$GL(\hat{\beta}) = D(\hat{a})X\{X^\top D(\hat{d})X\}^{-1}X^\top D(\hat{a})D(\hat{c}) = \hat{H}_1. \quad (5)$$

O gráfico índice de  $\widehat{GL}_{ii}$  é utilizado para avaliar observações com uma alta influencia nos valores preditos. Por outro lado, para o modelo linear normal e com base em [3], podemos definir os resíduos padronizados para o MLGEP como

$$t_{r_i} = \frac{y_i - \hat{y}_i}{\sqrt{\hat{\phi}\xi_h\{1 - (4a_h\xi_h)^{-1}\hat{h}_{ii}\}}} \quad i = 1, \dots, n,$$

em que  $a_h = \frac{\Gamma\{(3-v)/2\}}{4(2v-1)(1+v)^2\Gamma\{(v+1)/2\}}$ ,  $\xi_h = -2\psi'(0)$ ,  $h_{ii}$  são os elementos da diagonal da matriz  $H = W(a)^{1/2}X\{X^\top W(a)X\}^{-1}X^\top W(a)^{1/2}$ , isto é,  $h_{ii} = \omega(a_i)x_i^\top\{X^\top W(a)X\}^{-1}x_i$ . Para  $n$  grande é fácil mostrar que  $H_1 \cong H$ . Para motivar nossa teoria usamos como exemplo o conjunto de dados de preços de casas que tem sido analisados por vários autores (veja, por exemplo, [1]).

Tabela 1: Resumo do ajuste do MLGS para os dados de preços de casas.

Distribuição	Preditor linear	Função de ligação	v	AIC	BIC
Normal	quadrático	identidade	-	-38.8	-21.9
Exponencial Potência			0.4	-53.7	-36.8
Normal	quadrático	logarítmica	-	-40.2	-23.3
Exponencial Potência			0.4	-55.6	-38.7
Normal	quadrático	recíproca	-	-41.2	-24.3
Exponencial Potência			0.4	<b>-57.3</b>	<b>-40.4</b>

O objetivo do estudo é avaliar a associação entre os preços das casas com a qualidade do ar usando modelos de regressão. A variável resposta  $LMV$  (logaritmo do preço mediano das casas) está relacionado com 14 covariáveis. Para o nosso trabalho somente estudaremos a covariável  $LSTAT$  (logaritmo da proporção com renda mais baixa).

### 3 Resultados e discussões

A figura 1(esquerda) mostra o gráfico de dispersão com tendência não linear entre as variáveis  $LMV$  versus  $LSTAT$ .

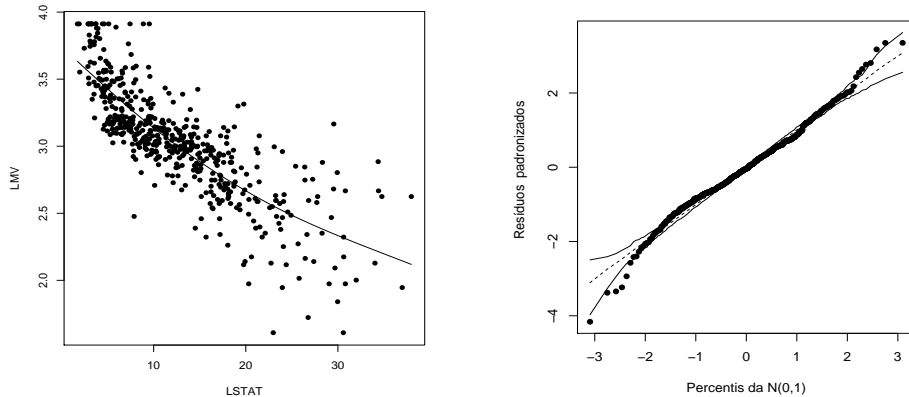


Figura 1: Gráfico de dispersão entre  $LMV$  e  $LSTAT$  (esquerda) e o QQplot com envelope simulado para o modelo linear quadrático com função de ligação recíproca(direita)

Assim, como sugerido pelo gráfico de dispersão (figura 1 (esquerda)), ajustamos os modelos: (i)  $Y_i \stackrel{ind}{\sim} N(\mu_i, \phi)$  e  $g(\mu_i) = \eta_i = \beta_0 + \beta_1 x_i + \beta_2 x_i^2$  e as funções de ligação identidade, logarítmica e recíproca, em que  $x = LSTAT$ . A tabela 1 resume os valores para o  $AIC$  e  $BIC$  para cada ajuste, em que  $AIC = -2\ell(\hat{\theta}) + 2(p+1)$  e  $BIC = -2\ell(\hat{\theta}) + (p+1)\log(n)$ . Notamos que o melhor ajuste (sob erros normais) é atingido para o preditor quadrático com ligação recíproca. No entanto, o gráfico QQplot para os resíduos  $t_{r_i}$  (figura 1 (direita)) indica que esse modelo não ajusta bem os dados, sugerindo o uso de uma distribuição simétrica com caudas mais pesadas do que a distribuição normal. Assim, consideramos como alternativa a distribuição exponen-

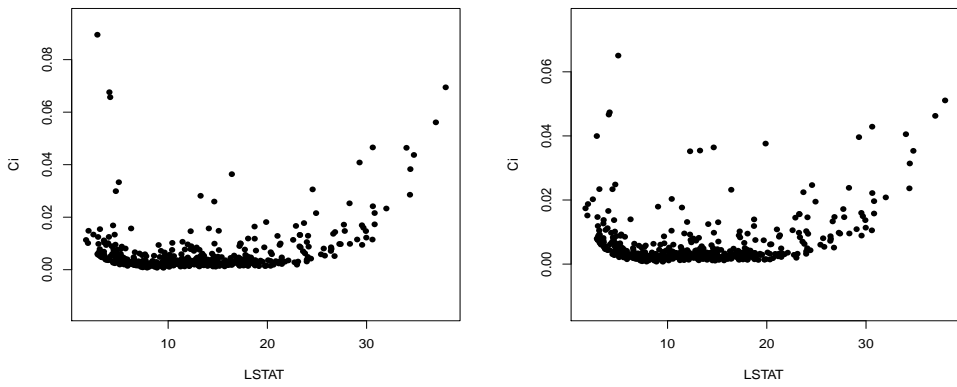


Figura 2: Gráfico entre  $C_i$  e  $LSTAT$  para o modelo linear generalizado exponencial potência com preditor linear quadrático e ligações logarítmica (esquerda) e recíproca (recíproca) sob ponderação de casos.

cial potência, isto é,  $Y_i \stackrel{ind}{\sim} EP(\mu_i, \phi, v)$  com  $g(\mu_i) = \eta_i = \beta_0 + \beta_1 x_i + \beta_2 x_i^2$ . Os resultados são resumidos na tabela 1. O parâmetro  $v$  foi selecionado para cada modelo usando o critério  $AIC$ . Notamos que o melhor ajuste foi obtido para o modelo linear generalizado exponencial potência com preditor linear quadrático e função de ligação recíproca. A figura 2 mostra o gráfico entre  $C_i$ , para o caso de ponderação de casos, e  $LSTAT$  para o modelo linear generalizado exponencial potência com preditor linear quadrático e ligação recíproca. Observamos uma alta sensibilidade de  $C_i$  para valores altos de  $LSTAT$ , o que significa que a predição do preço mediano das casas parece ser mais difícil para a proporção da renda mais baixa. O gráfico entre  $\hat{h}_{ii}$  e  $LSTAT$  (omitido aqui) apresenta a mesma tendência e o QQplot para os resíduos  $t_{r_i}$  com envelope simulado (figura 3) não indica presença de observações atípicas nem afastamento das suposições do modelo.

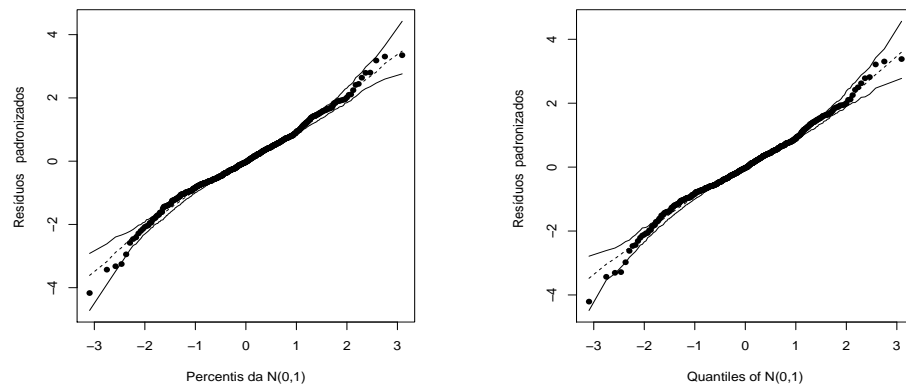


Figura 3: QQplot com envelopes simulados para  $t_{r_i}$  para o modelo linear generalizado exponencial potência com preditor linear quadrático e ligações logarítmica (esquerda) e recíproca (recíproca) para os preços das casas.

As estimativas de máxima verossimilhança (erro padrão) do modelo selecionado são dadas por  $\hat{\beta}_0 = 0.257057(0.00330906)$ ,  $\hat{\beta}_1 = 0.00704961(0.000555751)$ ,  $\hat{\beta}_2 = -0.0000581289(0.0000193211)$  e  $\hat{\phi} = 0.0248689(0.00184995)$ . Então, o valor predito tem a seguinte forma

$$\hat{\mu}(x) = (0.257057 + 0.00704961x - 0.0000581289x^2)^{-1},$$

em que  $\mu(x)$  denota os valores esperados de  $LMV$  dado  $x = LSTAT$ .

## 4 Conclusões

Em este trabalho apresentamos o modelo linear generalizado exponencial potência como alternativa ao modelo normal para diferentes funções de ligação seguindo a ideia dos modelos lineares generalizados. Além do anterior, apresentamos alguns gráficos de resíduos e alavanca generalizados para o modelo proposto com base num conjunto de dados reais.

## Referências

- [1] BELSEY, D. A.; KUH, E.; WELSCH, R. E. (1980). *Regression Diagnostics. Identifying Influential Data and Sources of Collinearity*. Wiley, New York.
- [2] BOX, G. E. P.; TIAO, G. C. (1973). *Bayesian Inference in Statistical Analysis*. Reading, Addison-Wesley.
- [3] COX, D. R.; SNELL, E. J. (1968). A general definition of residuals, *Journal of the Royal Statistical Society, B*, 30, 2, 248-275.
- [4] DEVROYE, L. (1986). *Non-Uniform Random Variable Generation*. Springer-Verlag, New York.
- [5] GALEA, M.; PAULA, G. A.; URIBE-OPAZO M. (2003). On influence diagnostics in univariate elliptical linear regression models. *Statistical Papers*, 44, 23-45.
- [6] MCCULLAGH, P.; NELDER, J. A. (1989). *Generalized Linear Models*, 2nd Edition. Chapman and Hall, London.
- [7] ST. LAURENT, R. T.; COOK, R. D. (1992). Leverage and superleverage in nonlinear regression, *Journal of the American Statistical Association*, 87, 985-990.
- [8] WEI, B. C.; HU, Y. Q.; FUNG, W. K. (1998). Generalized leverage and its applications, *Scandinavian Journal of Statistics*, 25, 25-37.